

Animation of clouds

Erich Crameri

Seminar WS 2002/03
Physically-based methods for
3D games and medical applications

Grundlage

- "A Simple, Efficient Method for Realistic Animation of Clouds,"
 - Y. Dobashi, K. Kaneda, H. Yamashita, T. Okita, T. Nishita
 - Hiroshima City University / Hiroshima University / University of Tokyo
 - SIGGRAPH 2000

Aufbau

- Einführung
 - Ziel der Arbeit
- Bisherige Arbeiten zum Thema
- Methoden
 - Zweiteiliger Prozess
 - Simulation
 - Rendering
- Fazit
- Beispiele

Einführung

- Anwendungsgebiete für realistisch simulierte Wolken
 - z.B. in Aussenszenen für
 - Architekturstudien
 - Flugsimulatoren
 - Filmszenen / Werbung
- Wolken beschrieben durch Dichteverteilung
 - Definiert über den Raum
 - Farbe und Form ändert je nach Betrachtungs- bzw. Beleuchtungswinkel

Einführung (2)

- Zwei Kategorien für bewegte „Gas“-Simulation
 - Physikalisch basiert
 - Fluiddynamik
 - Vorteil
 - „korrekte“ Simulation der Natur
 - Nachteil
 - sehr rechenaufwändig
 - Heuristische Verfahren
 - Vorteil
 - wenig rechenintensiv
 - Nachteil
 - Parameterwerte für realistische Resultate per Trial & Error suchen
 - unhandlich

Ziel der Arbeit

- Einfache Methoden
- Realistische Animation
- Möglichst schnell
 - real-time im Visier
 - Hardware ausnützen
 - Standard-PC als Plattform

Einführung (3)

- Zwei Phasen der Animation (generell)
 - Simulation
 - Generieren der bewegten Wolkendaten
 - Berechnen der Dichteverteilung
 - Rendering
 - Darstellung der Wolkendaten auf dem Bildschirm
 - Von der Dichteverteilung zu fotorealistischen Daten im Framebuffer

Einführung (4)

- Verwendete Methoden
 - Simulation
 - Mit Hilfe eines zellulären Automaten
 - Simuliert Bewegung durch einfache Boolesche Operationen
 - Rendering
 - Volume Rendering aufgrund der Dichteverteilung
 - Projizieren einer 2D Textur
 - Drei Effekte berücksichtigt
 - Wolkenfärbung
 - mit Berücksichtigung einfacher Lichtstreuung
 - Wolkenschatten auf dem Boden
 - Lichtstrahlen durch Wolken
 - Effekte können mit Open-GL realisiert werden
 - Ausnützen der Hardware

Bisherige relevante Arbeiten

- Simulation
 - Kay Nagel et al. 1992
 - Verwendet zellulären Automaten für die Wolkendynamik
 - Liefert noch zu unrealistische Resultate
 - Methode wird erweitert
 - Methode liegt zwischen physikalischem und heuristischem Ansatz
- Rendering
 - Nishita et al. 1996
 - Fasst mehrere Methoden/Effekte zusammen
 - Absorption & Streuung an Partikeln
 - Färbung durch gegebene Skylight-Verhältnisse
 - Lichtstrahlen durch Wolken
 - Schatten auf dem Boden

Methoden - Grundidee

- Simulation
 - Raum unterteilt in Voxels
 - Ein Voxel entspricht einer Zelle im Automaten
 - Pro Zelle drei Boolesche Variablen
 - vapor/humidity (*hum*)
 - clouds (*cld*)
 - phase transition or activation factor (*act*)

Methoden - Grundidee (2)

- Rendering
 - Hier interessiert nur
 - $i \text{ cld}=0 \text{ oder } 1$ pro Voxel
 - Harte binäre Dichteverteilung wird geglättet
 - Werte in $[0..1]$ pro Voxel
 - Volumen Rendering der Wolken
 1. Lichtintensität im Zentrum jedes Voxels
 - Textur des Wolkenschatten als „Nebenprodukt“
 2. Wolkenbild erzeugt mit einer Splatting Methode
 - Erzeugen & projizieren von 2D Texturen (Billboards)
 - Lichtstrahlen durch Blending der Wolkenschatten auf Schalen um den Betrachter

Methoden - Grundidee (3)

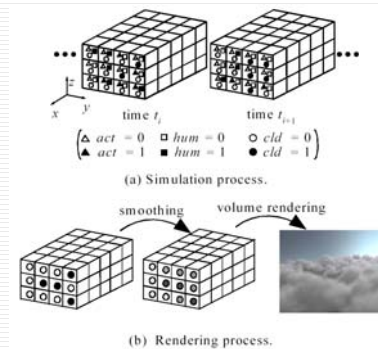
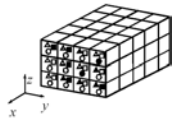


Figure 1: Overview of our method.

Simulation - Wachstum

- Entspricht Nagels Methode
- Zellulärer Automat modelliert Luftvolumen
 - Rechteck parallel zu den Koordinatenachsen
 - Anzahl Zellen

$\prod n_x \times n_y \times n_z$



- Variablen
 - $hum=1$: genügend Wasserdampf für Tropfen-/Wolkenbildung
 - $act=1$: Phasenübergang Dampf/Wasser ist bereit
 - $cld=1$: Wassertropfen/Wolken vorhanden

Simulation - Wachstum (2)

- Übergangsfunktionen des ZA

$$hum(i, j, k, t_{i+1}) = hum(i, j, k, t_i) \wedge \neg act(i, j, k, t_i),$$

$$cld(i, j, k, t_{i+1}) = cld(i, j, k, t_i) \vee act(i, j, k, t_i),$$

$$act(i, j, k, t_{i+1}) = \neg act(i, j, k, t_i) \wedge hum(i, j, k, t_i) \wedge f_{act}(i, j, k),$$

- wobei

$$f_{act}(i, j, k) = act(i+1, j, k, t_i) \vee act(i, j+1, k, t_i) \vee act(i, j, k+1, t_i)$$

$$\vee act(i-1, j, k, t_i) \vee act(i, j-1, k, t_i) \vee act(i, j, k-1, t_i)$$

$$\vee act(i-2, j, k, t_i) \vee act(i, j-2, k, t_i) \vee act(i, j, k-2, t_i)$$

$$\vee act(i+2, j, k, t_i) \vee act(i, j+2, k, t_i)$$

- eine Boolesche Funktion

- berücksichtigt, dass Wolken tendenziell horizontal und nach oben wachsen

Simulation - Extinktion

- Ergänzend zu Nagel
 - In Natur tritt Wasser/Dampf-Phasenübergang auch auf
- Neue Zustandsvariable für Auflösung
 - 1. Animator setzt Auflösungs-WSK p_{ext}
 - 2. \forall Zellen mit $cld=1$: Zufallszahl rnd ($0 \leq rnd \leq 1$)
 - 3. cld ändert Zustand, wenn $rnd < p_{ext}$
- Neues Problem
 - Wolken werden nicht mehr generiert nach Auflösung

Simulation - Extinktion (2)

- Weitere Parameter für hum und act

- Dampf-WSK p_{hum}

- Phasenübergangs-WSK p_{act}

- Analog \forall Zellen mit $hum=0$ bzw. $act=0$

- Zufallszahl rnd ($0 \leq rnd \leq 1$)

- hum/act ändert Zustand, wenn $rnd < p_{hum}/rnd < p_{act}$

- Zusätzliche Übergangsfunktionen ($IS(e)=1$, falls e wahr)

$$cld(i, j, k, t_{i+1}) = cld(i, j, k, t_i) \wedge IS(rnd > p_{ext}(i, j, k, t_i)),$$

$$hum(i, j, k, t_{i+1}) = hum(i, j, k, t_i) \vee IS(rnd < p_{hum}(i, j, k, t_i)),$$

$$act(i, j, k, t_{i+1}) = act(i, j, k, t_i) \vee IS(rnd < p_{act}(i, j, k, t_i))$$

- Mit p_{ext} , p_{hum} und p_{act} variabel pro Zelle und Zeit

- Animator kann eine Art Wetter modellieren

- und die Bewegungen der Wolken kontrollieren

Simulation - Advektion durch Wind

- Weitere Übergangsfunktionen nötig
- Idee
 - Alle Variablen in Windrichtung verschieben
 - Windgeschwindigkeitsfunktion $v()$
- Bsp. mit Wind entlang x-Achse

$$cld(i, j, k, t_{i+1}) = \begin{cases} cld(i - v(z_k), j, k, t_i) & i - v(z_k) > 0 \\ 0 & \text{sonst} \end{cases}$$
$$hum(i, j, k, t_{i+1}) = \begin{cases} hum(i - v(z_k), j, k, t_i) & i - v(z_k) > 0 \\ 0 & \text{sonst} \end{cases}$$
$$act(i, j, k, t_{i+1}) = \begin{cases} act(i - v(z_k), j, k, t_i) & i - v(z_k) > 0 \\ 0 & \text{sonst} \end{cases}$$

Simulation - Bitfeld Manipulationen

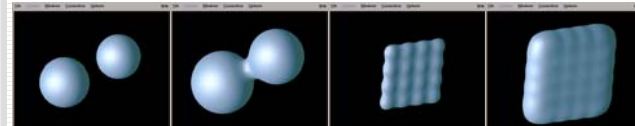
- 1 Bit pro Variable
- 3 Bits pro Zelle/Voxel
- Integer Datentyp repräsentiert mit m Bits
 - Bitoperationen mit Integers
 - Übergänge von m Zellen parallel pro Bitoperation berechnet
- Problem
 - Zufallszahl für Auflösungsberechnung
- Lösung
 - Look-Up Table
 - zufällige Bitsequenzen

Simulation - Bewegungskontrolle

- Design der Wolkenbewegung über
 - Dampf-WSK
 - Phasenübergangs-WSK
 - Auflösungs-WSK
- Ellipsoide modellieren Luftpakete
 - Dampf-WSK innen > als aussen
 - Phasenübergangs-WSK innen > als aussen
 - Auflösungs-WSK innen < als aussen
- Design der Wolkenart
 - Ellipsoidparameter
 - Ausprägung, Anzahl, Ort

Rendering - Dichteverteilung

- Vor Bilderzeugung
 - Zweistufige Filterung von
 - Raumdiskrete, binäre (!) Dichteverteilung
 - nach
 - Stetige Dichteverteilung mit Werten in $[0..1]$
- „Interpolation“ zwischen den Zellen
 - Metaball Methode
 - Feldfunktion innerhalb Kugel mit Radius R
 - Isoflächen



Rendering – Dichteverteilung (2)

■ Stufe 1

$$q(i, j, k, t_i) = \frac{1}{(2i_0 + 1)(2k_0 + 1)(2j_0 + 1) \sum_{t'=-i_0}^{i_0}} \sum_{k'=-k_0}^{k_0} \sum_{j'=-j_0}^{j_0} \sum_{t'=-i_0}^{i_0} w(i', j', k', t') \text{cld}(i+i', j+j', k+k', t_i+t')$$

- Raumdiskrete Glättung über Raum/Zeit
 - Dichte in $[0..max(w())]$ abgebildet
- Gewichtung
 - ┆ $w() > 0$
- Glättungsausdehnung
 - ┆ i_0, j_0, k_0, t_0

Rendering – Dichteverteilung (3)

■ Stufe 2

$$\rho(\underline{x}, t_i) = \sum_{i, j, k \in \Omega(\underline{x}, R)}^N q(i, j, k, t_i) f(\|\underline{x} - \underline{x}_{i, j, k}\|)$$

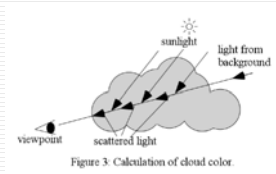
■ Metaball Feldfunktion als Basis

$$f(r) = \begin{cases} -\frac{4}{9}a^6 + \frac{17}{9}a^4 - \frac{22}{9}a^2 + 1 & (r \leq R) \\ 0 & (r > R) \end{cases}, \quad a = \frac{r}{R}$$

- Effektradius des Metaballs
 - ┆ R
- Menge der Zellen innerhalb Metaball um \underline{x} mit Radius R
 - ┆ $\Omega(\underline{x}, R)$
- Zentrum der Zelle (i, j, k)
 - ┆ $\underline{x}_{i, j, k}$

Rendering – Wolken

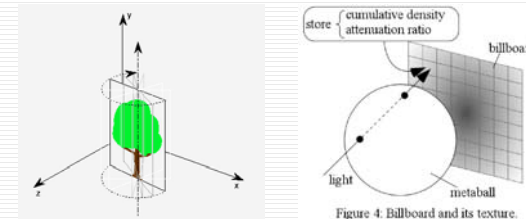
- Wolkenfarbe als Summe
 - aus attenuiertem Hintergrundlicht
 - und gestreutem Sonnenlicht



- Rendering in drei Schritten...

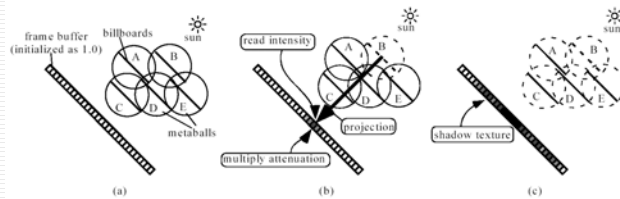
Rendering – Wolken (2)

- Schritt 0:
 - Trick
 - Billboards \forall Dichten von Metaball-/Voxelzentren vorberechnen
 - Textur = kumulierte Attenuation im Metaball
 - Dichten zu $n=64$ Varianten diskretisieren
 - Speichersparend
 - Spart intensives real-time Berechnen



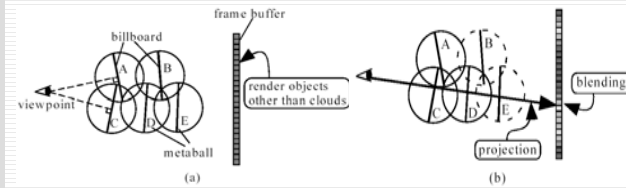
Rendering – Wolken (3)

- Schritt 1:
 - Metaballs Intensität des Sonnenlichts bestimmen
 - geordnetes „blending“ aller Billboard-Attenuationen
 - Nacheinander in einen Framebuffer
 - Pixel „unter“ Metaballzentrum mult. mit Farbe des Sonnenlichts
 - = Farbe des Metaballs
 - gespeichert in Billboard-Textur
 - Resultierender Framebuffer
 - Schatten-Textur



Rendering – Wolken (4)

- Schritt 2:
 - Szene bis auf Wolken rendern
 - Billboards auf Betrachter gerichtet
 - Metaballs von hinten nach vorne
 - Projizieren der Billboards
 - „blending“ der Billboard-Texturen mit dem Framebuffer

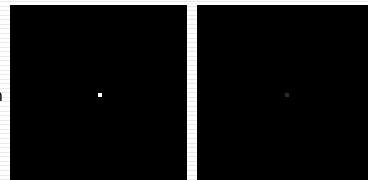


Rendering – Wolken (5)

binärer
zellulärer Automat

inverse
Attenuation-
/Schattentextur

von oben



von Seite



Rendering – Lichtstrahlen

- Idee
 - Schattentextur auf Schalen „blenden“

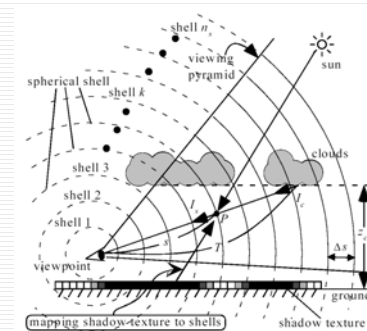


Figure 7: Rendering shafts of light.

Rendering – Lichtstrahlen (2)

- Diskretisierte Intensität des Lichts

$$I = I_c \beta(T) + \sum_{k=0}^{n_s} \gamma(k\Delta s) I_s(k\Delta s) \beta(k\Delta s) \Delta s$$

- n_s : Anzahl Schalen
- Δs : Abstand der Schalen
- I_c : Farbe der Wolke
- β : Dämpfung durch Luft
- I_s : Intensität des gestreuten Sonnenlichts
- γ : Dämpfung durch Wolke
- T : Distanz Metaball - Betrachter

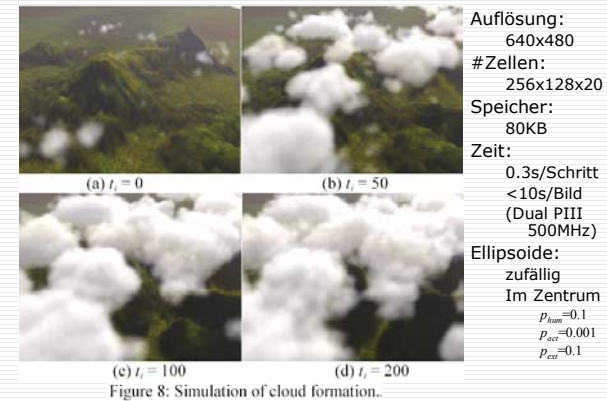
Rendering – Lichtstrahlen (3)

- Berechnen der einzelnen Terme
 - $\beta(T)$: analytisch aufgrund der Distanz
 - \rightarrow 1. Term $I_c \beta(T)$
 - Schalen durch Polygone in Viewing Pyramid approximiert
 - OpenGL
 - \forall Ecken
 - Berechne Intensität des gestreuten Lichts $I_s()$
 - Berechne Dämpfung zwischen Ecke – Betrachter analytisch
 - Speichere $I_s(k\Delta s) \beta(k\Delta s) \Delta s$ als Polygonfarbe
 - \forall Polygone
 - Texture-Mapping des Schattens
 - ergibt Multiplikation der Polygonfarbe mit γ
 - Schalenpolygone und Wolken nach Reissverschlussprinzip gerendert
 - Schale, Wolke bis nächste Schale, nächste Schale ...
 - da beides transparente Objekte

Fazit

- Vorteile der Methode
 - Realistische Resultate
 - der Dynamik
 - Farbe, Schatten, Lichtstrahlen
 - Schnelle Simulation durch Bitfeldoperationen
 - Wenig Speicheraufwand
 - Grafikhardware ausgenutzt
 - Parameter lassen Design der Szene zu
- Verbesserungen
 - Vektorfelder für Windsimulation
 - Level Of Detail
 - Voxels weit weg könnten grösser sein
 - weniger Metaballs
 - Splatting-Prozess am Zeitintensivsten!

Beispiel



Beispiel (2)

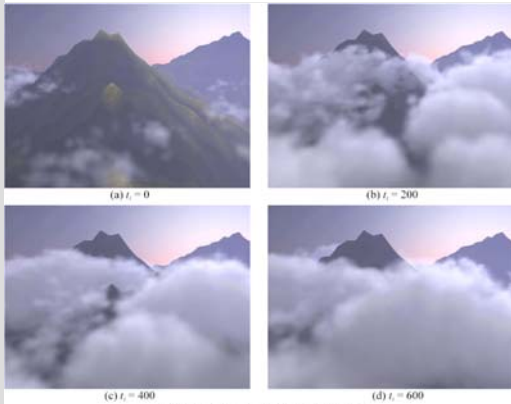


Figure 9: Cloud formation around mountains.

Auflösung:
640x480
#Zellen:
256x128x20
Speicher:
80KB
Zeit:
0.3s/Schritt
<10s/Bild
(Dual PIII
500MHz)
Ellipsoide:
manuell
Im Zentrum
 $p_{hum}=0.1$
 $p_{air}=0.001$
 $p_{er}=0.1$

Beispiel (3)

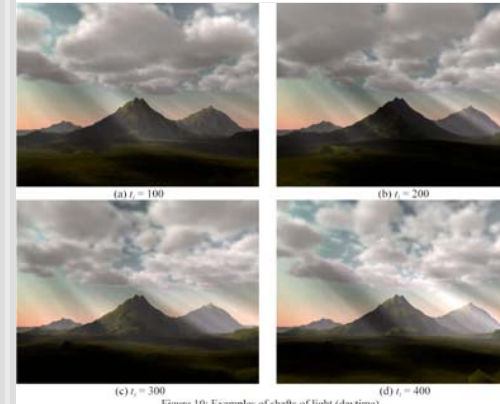


Figure 10: Examples of shafts of light (daytime).

Auflösung:
640x480
#Zellen:
256x256x20
Speicher:
160KB
Zeit:
0.5s/Schritt
20-30s/Bild
(Dual PIII
500MHz)
Schalen:
40

Beispiel (4)

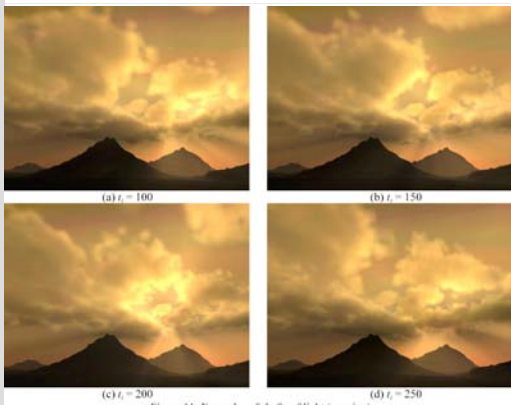


Figure 11: Examples of shafts of light (evening).

Auflösung:
640x480
#Zellen:
256x256x20
Speicher:
160KB
Zeit:
0.5s/Schritt
20-30s/Bild
(Dual PIII
500MHz)
Schalen:
40